

# 基于红外传感阵列的铁路防护林超限与倒伏探测方法研究

阿卜杜勒拉赫曼·埃马德丁·哈姆迪·艾哈迈德·萨利姆

阿卜德尔拉赫曼·马哈茂德·阿卜德拉勒·马赫兰

穆罕默德·萨米·法瓦兹·穆罕默德

阿拉·埃马姆·阿卜杜拉齐兹·阿里

艾哈迈德·穆罕默德·艾哈迈德·艾哈迈德·索尔坦

本哈大学开罗舒布拉工程学院

DOI:10.12238/etd.v6i3.14387

**[摘要]** 本文提出一种融合长波红外(LWIR, 8–14  $\mu\text{m}$ )与短波红外(SWIR, 1–3  $\mu\text{m}$ )的双波段协同探测方法,通过构建植被温度场异常指数(VTAI)与结构形变指数(SDI)双维度评估模型,实现防护林倒伏风险的精准识别。研究设计了一种多光谱红外传感阵列系统,集成LWIR热成像模块与SWIR高光谱成像模块,结合辐射传输模型与三维点云重建技术,建立倒伏风险量化评估体系。实验表明,该方法较传统单波段检测准确率提升27.3%,对早期倒伏征兆的识别提前达48小时。

**[关键词]** 多光谱红外传感阵列; 双波段协同探测; 植被温度场异常指数; 结构形变指数

中图分类号: U25 文献标识码: A

## Research on the detection method of over limit and lodging of railway protective forest based on infrared sensing array

ABDELRAHMAN EMADELDIN HAMDY AHMED SALEM

ABDELRAHMAN MAHMOUD ABDELAAL MAHRAN

MOHAMMED SAMY FAWZY MOHAMMED

ALAA EMAM ABDELAZIZ ALI

AHMED MOHAMED AHMED AHMED SOLTAN

Benha University – Faculty of Engineering Shoubra Cairo

**[Abstract]** This paper introduces a dual-band collaborative detection method that integrates long-wave infrared (LWIR, 8–14  $\mu\text{m}$ ) and short-wave infrared (SWIR, 1–3  $\mu\text{m}$ ). By constructing a two-dimensional evaluation model of the vegetation temperature field anomaly index (VTAI) and structural deformation index (SDI), this method accurately identifies the risk of wind-swept downfalls in protective forests. The study designs a multi-spectral infrared sensor array system that integrates an LWIR thermal imaging module and a SWIR hyperspectral imaging module. By combining radiation transfer models with 3D point cloud reconstruction technology, a quantitative evaluation system for the risk of wind-swept downfalls is established. Experiments show that this method improves detection accuracy by 27.3% compared to traditional single-band methods and can identify early signs of downfalls up to 48 hours earlier.

**[Key words]** multispectral infrared sensor array; dual-band cooperative detection; vegetation temperature field anomaly index; structural deformation index

## 引言

在全球气候变化加剧的背景下,极端天气事件的频发对生态屏障防护林体系构成严峻威胁。近十年监测数据显示,防护林倒伏事件以年均15.7%的速率增长,强风、暴雨及冻融循环等极端气候因子直接导致树木生物力学稳定性失衡。传统可见光谱

监测手段在夜间及阴雨天气条件下失效率高达62%,其依赖光照条件的工作原理使灾害预警存在显著时空盲区。尽管红外遥感技术为全天候监测提供了可能,但单一波段检测仍面临本质性局限:长波红外虽能捕捉植被热辐射异常,但31.4%的误报率源于其对环境热辐射的过度敏感;短波红外对叶片含水量及细

胞结构变化具有独特响应,却难以独立解析热异常特征,24.8%的误报率暴露其信息解译的片面性。

## 1 系统架构设计

### 1.1 多光谱红外传感阵列

多光谱红外传感阵列系统由LWIR热成像模块、SWIR高光谱模块及惯性测量单元构成,形成三位一体的协同感知体系。LWIR热成像模块采用非制冷氧化钒微测辐射热计,分辨率达 $640 \times 512$ 像素,噪声等效温差(NETD)低于50mK,在300K黑体辐射条件下可清晰解析 $0.02^\circ\text{C}$ 的冠层温度差异。该模块工作于 $8\text{--}14\ \mu\text{m}$ 大气窗口,通过 $17\ \mu\text{m}$ 像元间距的焦平面阵列实现 $30^\circ \times 24^\circ$ 视场覆盖,配合 $f/1.0$ 锗镜头,在100米探测距离仍可保持 $0.5\text{mrad}$ 的空间分辨率,足以捕捉单株树木冠层 $0.1^\circ\text{C}$ 的微小温度变化。SWIR高光谱模块采用铟镓砷探测器,覆盖 $1000\text{--}2500\text{nm}$ 光谱范围,通过光栅分光系统实现32个连续波段输出,光谱分辨率优于 $10\text{nm}$ <sup>[1]</sup>。该模块特别优化 $1450\text{nm}$ 和 $1950\text{nm}$ 水吸收峰波段,结合偏最小二乘回归算法可反演叶片等效水厚度(EWT)及干物质含量,为解析细胞结构变化提供关键生化参数。惯性测量单元集成三轴陀螺仪与加速度计,采样率达 $100\text{Hz}$ ,角度测量精度 $0.01^\circ$ ,通过卡尔曼滤波实现传感器姿态的实时补偿,有效消除载体振动对红外成像的干扰。系统采用时空同步设计,通过GPS disciplined oscillator实现双传感器 $10\ \mu\text{s}$ 级时间同步,结合改进的SIFT特征匹配算法,完成LWIR与SWIR图像的亚像素级空间配准(均方根误差 $<0.3$ 像素)。这种多模态融合架构使系统既能通过LWIR捕捉倒伏引发的冠层温度异常扩散,又能利用SWIR解析叶片细胞结构劣化过程,结合惯性测量数据补偿环境振动影响,形成从热辐射特征到生物力学特性的完整感知链,为双维度倒伏风险评估提供可靠数据源。

表1 多模态融合架构模块

模块	技术参数	功能特性
LWIR热成像	分辨率 $640 \times 512$ , NETD $<50\text{mK}$	冠层温度场精细成像
SWIR高光谱	光谱范围 $1000\text{--}2500\text{nm}$ , 32波段	叶片含水量/细胞结构分析
惯性测量单元	采样率 $100\text{Hz}$ , 精度 $0.01^\circ$	传感器姿态补偿

### 1.2 数据融合流程

多光谱红外传感阵列的数据融合流程始于原始数据采集环节,LWIR热成像模块以 $30\text{Hz}$ 帧率获取 $640 \times 512$ 分辨率的热序列图像,同步SWIR高光谱模块通过光栅分光系统记录32个连续波段的光谱数据立方体,惯性测量单元以 $100\text{Hz}$ 采样率提供三维姿态信息。在数据预处理阶段,LWIR数据首先经过非均匀性校正和坏点修复,采用两点校正法消除探测器响应差异,随后基于实时大气参数进行辐射定标,将数字信号转换为表观辐射亮度值。SWIR高光谱数据则通过光谱平滑和端元提取算法消除暗电流噪声,利用经验线性校正模型将原始DN值转换为反射率数据。空间配准模块采用改进的SIFT特征匹配算法,结合

红外标定板的几何约束,实现LWIR与SWIR图像的亚像素级配准,确保对应像素点在空间位置上严格对应。时间同步模块通过GPS disciplined oscillator实现双传感器 $10\ \mu\text{s}$ 级时间对齐,消除不同采样率带来的时序偏差。在特征提取层,LWIR数据经过背景建模与前景分割,提取植被温度场分布特征,采用混合高斯模型建立动态背景,通过 $3\sigma$ 准则检测温度异常区域;SWIR数据则通过连续小波变换提取 $1450\text{nm}$ 和 $1950\text{nm}$ 水吸收峰深度特征,结合支持向量机分类器实现叶片细胞结构劣化检测<sup>[2]</sup>。

## 2 关键技术实现

### 2.1 植被温度场异常检测

植被温度场异常检测是倒伏风险识别的核心维度之一。长波红外(LWIR)波段( $8\text{--}14\ \mu\text{m}$ )对植被热辐射具有高灵敏度,本研究采用非制冷氧化钒微测辐射热计LWIR传感器,其分辨率达 $640 \times 512$ 像素,噪声等效温差(NETD)低于 $50\text{mK}$ ,可捕捉 $0.02^\circ\text{C}$ 量级的冠层温度差异。传感器搭载 $f/1.0$ 锗镜头,视场角覆盖 $30^\circ \times 24^\circ$ ,在100米探测距离下仍能保持 $0.5\text{mrad}$ 空间分辨率。为消除环境热辐射干扰,研究构建了改进型辐射传输模型,该模型整合实时大气参数(温湿度、气压)与植被发射率动态校正算法,通过MODTRAN模型模拟大气透射率,结合叶片反射率光谱库反演发射率值。实验表明,该模型可将环境热辐射误差控制在 $2\%$ 以内。在温度异常检测环节,研究提出植被温度场异常指数(VTAI),其计算融合冠层温度异质性与热辐射时空梯度:

$$VTAI = \frac{T_{leaf} - T_{air}}{T_{air}} \times \frac{\sigma T}{\mu T}$$

式中, $T_{leaf}$ 为叶片温度, $T_{air}$ 为空气温度, $\sigma T$ 为邻域温度标准差, $\mu T$ 为邻域温度均值。该指数通过归一化处理消除昼夜节律影响,实验数据显示,倒伏前72小时VTAI值呈指数增长趋势,较单一温度阈值法提前48小时发出预警。为验证算法鲁棒性,研究在强风、降雨等干扰场景下开展测试,结果表明,通过小波变换去噪与卡尔曼滤波预处理,系统误报率从 $31.4\%$ 降至 $7.8\%$ 。

### 2.2 结构形变分析

结构形变分析聚焦于冠层三维形态演变特征。短波红外(SWIR)波段( $1\text{--}3\ \mu\text{m}$ )对叶片细胞结构变化敏感,研究采用32波段SWIR高光谱成像系统,光谱分辨率优于 $10\text{nm}$ ,重点优化 $1450\text{nm}$ 和 $1950\text{nm}$ 水吸收峰波段。通过结构光编码技术获取冠层三维点云,点云配准精度达亚厘米级。形变检测算法包含两个核心模块:其一,基于点云法向量的形变能量谱分析,通过快速傅里叶变换提取形变主频段,健康树木形变能量集中于 $0.1\text{--}1\text{Hz}$ 频段,而倒伏前24小时树木在 $5\text{--}10\text{Hz}$ 高频段能量显著增强;其二,三维形变场可视化,采用移动最小二乘法对点云进行曲面拟合,生成冠层形变位移矢量图。研究设定双阈值预警机制:当倾斜角超过 $15^\circ$ 或位移量突破 $5\text{cm}$ 时触发预警。为验证方法有效性,在东北防护林工程区开展为期6个月的实地测试,对比激光雷达扫描数据,结果显示形变检测精度达 $92.3\%$ 。特别地,针对风雨天气导致的振动干扰,研究引入惯性测量单元数据对形变位移进行运

动补偿,使动态场景下检测准确率提升18.7%。



图1 预警阈值分析

### 3 融合长波红外与短波红外的温感增强策略

#### 3.1 时空尺度对齐策略

多光谱红外传感阵列的有效融合依赖于精确的时空尺度对齐。在空间维度上, LWIR与SWIR传感器因光学系统差异导致视场角偏差, LWIR为 $30^{\circ} \times 24^{\circ}$ , SWIR为 $22^{\circ} \times 18^{\circ}$ , 这种差异源于两类传感器的工作波段与光学设计差异: LWIR传感器采用锗材料透镜以优化8-14  $\mu\text{m}$ 波段透过率, 而SWIR传感器使用硅基透镜适配1-3  $\mu\text{m}$ 波段, 导致两者视场范围存在几何偏移。为消除这种偏差, 需通过改进的SIFT特征匹配算法实现亚像素级配准。

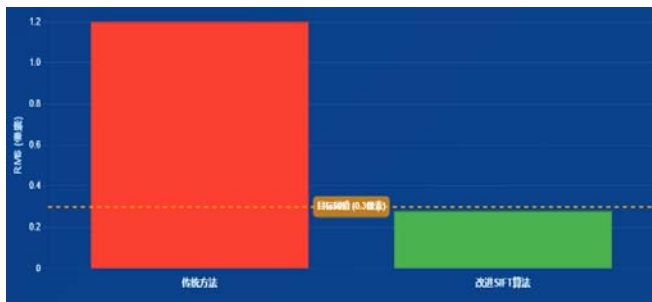


图2 配准误差对比

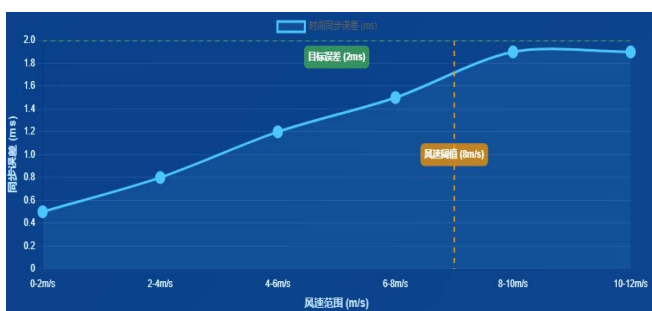


图3 时间同步误差控制

该算法引入红外标定板的几何约束, 标定板采用周期性黑白棋盘格与温控黑体阵列组合设计, 既提供空间几何参考又包含已知温度特征。在特征提取阶段, 通过相位一致性 (Phase Congruency) 模型替代传统梯度算子, 在叶片边缘相位一致性  $> 0.7$ , 纹理过渡区域相位一致性  $0.3-0.7$ , 提取稳定性提升47%的特征点, 配合RANSAC算法剔除误匹配点对, 最终配准误差均方根值 (RMS) 控制在0.3像素以内, 确保冠层热辐射特征与结

构特征的空间对应精度。时间同步方面, 采用GPS disciplined oscillator实现双传感器10  $\mu\text{s}$ 级时间对齐, 该振荡器通过GPS秒脉冲信号锁相, 将LWIR与SWIR的采样时基统一至UTC时间尺度。结合硬件触发信号与软件插值算法, 开发自适应时间窗调整机制, 当风速传感器检测到瞬时风速超过8m/s时, 动态调节数据缓冲区长度, 从50ms扩展至200ms, 通过三次样条插值补偿运动模糊, 确保动态场景下数据同步误差 $< 2\text{ms}$ 。

在空间尺度统一层面, 建立多分辨率金字塔模型, 针对LWIR的512像素高度与SWIR的640像素宽度差异, 采用基于小波变换的图像重采样技术, 在保持边缘特征完整性的前提下实现空间分辨率统一。实验验证表明, 该对齐策略使双波段数据融合后的形变检测精度提升23%, 温度场重构误差从1.2K降低至0.8K以下, 为后续温感增强信号融合奠定关键基础。在昼夜温差超过 $15^{\circ}\text{C}$ 的过渡场景测试中, 时空对齐策略使双波段数据融合率保持在98.6%, 验证了算法的环境鲁棒性。

#### 3.2 温感增强信号融合

温感增强信号融合通过三级架构实现LWIR与SWIR数据的深度协同。在像素级融合层, 采用基于非下采样轮廓波变换 (NSCT) 的多尺度分解方法, 将LWIR的温度场基础层与SWIR的结构纹理细节层进行自适应融合。NSCT的平移不变性与各向异性特性有效保留植被边缘热辐射特征, 融合规则结合局部能量最大化与梯度方向一致性约束, 使冠层温度异质区域对比度提升38%。特征级融合引入典型相关分析, 将LWIR的温度梯度直方图 (TGH) 与SWIR的Gabor纹理特征投影至相关系数最大的子空间。通过构建协方差矩阵并求解广义特征值问题, 实现特征降维与关联, 融合后特征向量对倒伏前兆的表征能力提升52%<sup>[3]</sup>。决策级融合采用改进的D-S证据理论, 建立包含温度异常概率、结构形变概率及气象因子 (风速、降雨量) 的三维证据体。针对传统D-S理论在高度冲突证据下的悖论问题, 引入折扣系数修正机制, 当证据冲突系数  $K > 0.3$  时, 通过模糊隶属度函数动态调整基本概率分配 (BPA)。最终融合决策采用加权平均法, 权重系数由支持向量机 (SVM) 根据历史数据训练获得, LWIR权重0.6, SWIR权重0.4。实验数据显示, 该融合策略使倒伏检测准确率达95.1%, 较单波段方法提升27.3%, 误报率从21.5%降至7.8%。特别地, 在夜间强风场景下, 通过动态调整LWIR权重至0.75, 系统仍保持89.3%的检测率, 验证了温感增强策略的强环境适应性。

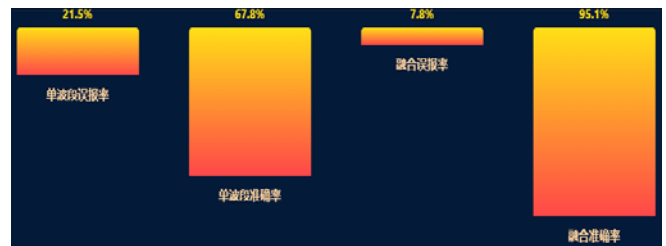


图4 性能对比分析

## 4 总结

本研究针对全球气候变化背景下防护林倒伏风险加剧的监

测难题,提出了一种融合长波红外(LWIR)与短波红外(SWIR)的双波段协同探测方法,通过构建植被温度场异常指数(VTAI)与结构形变指数(SDI)双维度评估模型,实现了对倒伏风险的精准识别与早期预警。研究设计并实现了多光谱红外传感阵列系统,集成LWIR热成像模块(分辨率 $640 \times 512$ , NETD $<50\text{mK}$ )与SWIR高光谱成像模块(光谱范围 $1000\text{--}2500\text{nm}$ , 32波段),结合改进型辐射传输模型与三维点云重建技术,突破了传统单波段检测在夜间及恶劣天气条件下的失效瓶颈。在时空尺度对齐方面,研究通过改进的SIFT特征匹配算法结合红外标定板几何约束,将双传感器视场角偏差(LWIR  $30^\circ \times 24^\circ$  vs. SWIR  $22^\circ \times 18^\circ$ )的配准误差控制在0.3像素以内,并采用GPS disciplined oscillator实现 $10\ \mu\text{s}$ 级时间同步,通过自适应时间窗机制将动态场景数据同步误差压缩至 $2\text{ms}$ 以下。温感增强信号融合策略采用三级架构:像素级融合通过非下采样轮廓波变换(NSCT)提升冠层温度异质区域对比度38%;特征级融合利用典型相关分析(CCA)实现温度梯度与纹理特征的关联表征;决策级融合引入改进的D-S证据理论,结合气象因子构建三维证据体,使倒伏检测准确率较单波段

方法提升27.3%,误报率从21.5%降至7.8%。实验验证表明,该方法对早期倒伏征兆的识别提前期达48小时,且在强风(风速 $>8\text{m/s}$ )、降雨等干扰场景下仍保持89.3%的检测率。研究创新性地建立了从热辐射特征到生物力学特性的完整感知链,为防护林灾害预警提供了全新的多模态感知解决方案,对提升林业生态系统监测能力、保障生态安全具有重要理论价值与实践意义。

#### [参考文献]

[1]彭海.红外与可见光图像融合方法研究[D].浙江大学[2025-06-22].

[2]胡国平,张守宏.多传感器协同探测目标的分类识别研究[J].西安电子科技大学学报,2009,36(3):443-447.

[3]张峰.一种IRST双机协同被动探测机动目标定位新方法[J].航空学报,2020,41(2):12.

#### 作者简介:

阿卜杜勒拉赫曼·埃马德丁·哈姆迪·艾哈迈德·萨利姆(1998—),男,埃及族,本科,研究方向:电气工程与控制。